

MERANIE NAPÄTOSTI ELASTICKO-MAGNETICKÝM SNÍMAČOM

Doc. Ing. Miroslav Mojžiš, CSc.

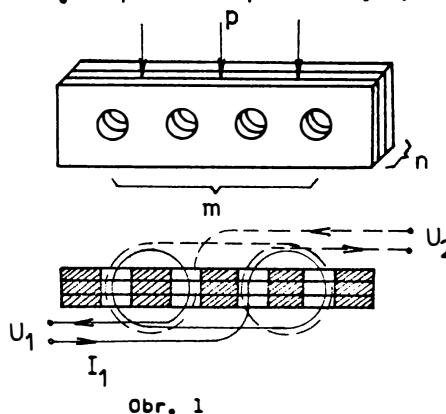
Katedra teoretickej elektrotechniky a techniky obvodov
EF VŠT, Košice

1. Úvod

Načrtený snímač napäťosti /tlaku/ pracuje na princípe elasticko-magnetického javu. Magnetické vlastnosti, ktoré reprezentuje materiálový parameter - permeabilita, sa vplyvom deformácie látky menia. Ak túto deformáciu spôsobuje konkrétna mechanická súčinnosť, možno podľa velkosti zmeny permeability a prieskumnej deformácie magnetického poľa usúdiť o jej veľkosti. Uvedený snímač je určený na meranie jednoosovej tláčnej sily, resp. v prepočítaní na jednotku stýčnej plochy snímača na meranie jednoosového statického tlaku v rozsahu 20 - 120 MPa. Pôsobenie krútiacich sil sa musí vylúčiť.

2. Vzťahy určujúce výstupnú charakteristiku snímača

Vlastný snímač skladá sa z lamiel /plechov/ z feromagnetického materiálu, v nich sú vŕtané otvory pre vinutie. / Obr. 1/ Na telo snímača pôsobi tlak p . Vinutie v snímači je usporiadane podľa obr. 1. Prechodom prúdu I_1 vytvoriť sa v snímači približne kruhové mg. pole, ako je to naznačené na obr. 2.

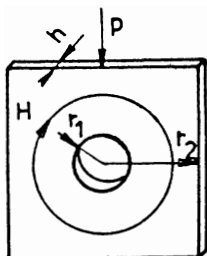


Obr. 1

Tento elementárny geometrický útvor /prvok/ nachádza sa v snímači m . n - krát a tým aj kruhové mg. pole. Pôsobenie tlaku deforme sa pôvodné mg. pole a tým sa zmení výstupné napätie U_2 .

o hodnote ΔU_2 , ktorá predstavuje užitočný signál. Kvôli titatívny vzťah udávajúci hodnotu ΔU_2 bol odvodneny teoretickým rozborom z energetickej rovnováhy feromagnetika [1], [2], [3] riešením pola mechanickej napäťosti takého

útvaru [4] riešením elektromagnetického pola [5], [6] a riešením interakcie elektromagnetického pola s polom mechanickej napäťosti. Vzťah bol odvodneny v dvoch stupňoch približenia ku skutočnosti. Približný, ale praktický vzťah má tvar



Obr. 2

$$\Delta U_{2a} = \left[\pi n_1^2 f N_2 \frac{2\lambda_{se} \omega^2}{B_{sef}^2} \frac{2}{\pi} \frac{N_1 I_{1a} h}{2\chi} f_g \frac{r_2}{r_1} \right] \cdot P$$

a presnejši

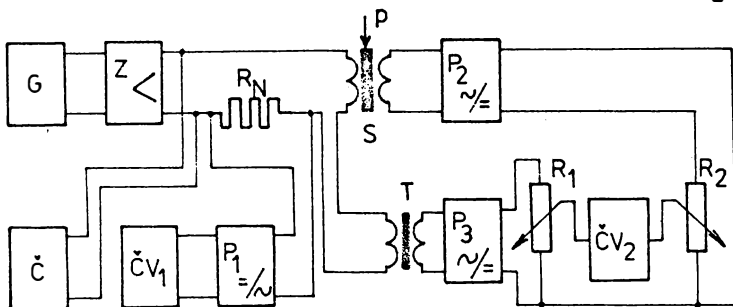
$$\Delta U_{2a} = \left\{ \pi n_1^2 f N_2 \frac{2\lambda_{se} N_1 I_{1a} h}{B_{sef}^2 2\chi} \int_{r_1}^{r_2} \left(\frac{\omega^2}{r'} - \frac{1}{2} \left(1 + \frac{r_1}{r'} \right)^2 \right) dr \right\} P$$

Vidíme, že vzťahy majú tvar $\Delta U_2 = k_c P$, kde k_c sme označili konštantom citlivosti. Merané výstupné napätie bude úmerné pôsobiacemu tlaku.

3. Experimentálna časť

Meraciu aparáturu sme zapojili podľa principiálnej blokovej schémy, ktorú znázorňuje obr. 3. Vstupný obvod snímača tvoril generátor /G/, zosilňovač /Z/, odporový normál /R_N/, primárna strana kompenzačného transformátora /T/ a primárny obvod vlastného snímača /S/. Pomocou čítača

/č/ a číslico výho voltmetu /čv₁/ sme sledovali vstupné hodnoty f a I₁. Odporový normál slúžil na prispôsobenie obvodu k zosilňovaču, ako aj na prevod prúdu na napätie. Výstupný obvod tvorili tieto časti: sekundárne vinutie vlastného snímača /S/, prevodník striedavého napäťa na rovnosmerné napätie /P₂/, sekundárne vinutie transformátora /T/ s príslušným prevodníkom /P₃/. Pomocou potenciometrov R₁ a R₂ sme zvolili vhodné kompenzačné napätie, zodpovedajúce U₂ /p=0/. Číslicový voltmeter /čv₂/, zapojený podľa schémy, meral potom len užitočný signál U₂.



Obr. 3

Takto vytvorené kompenzačné zapojenie kompenzovalo zároveň amplitúdovú a frekvenčnú nestabilitu napájacieho zdroja. Tlačnú silu ako vstupnú veličinu sme vyviedli zváži úrsone preciahovaným zariadením, zhodceneným na pracovišku na princípe váh. Vstupnú veličinu tvorila kvapalina.

Vlastné meranie sme uskutočnili na vzorkách s rozmermi 28x7x0,5 mm /n=1/ podľa uvedenej konceptie / obr. 1/. Vzorky pozostávali z viacerých materiálov československej výroby. Najlepšie výsledky sme dosiahli na snímači z materiálu Et 26 0 : trieda presnosti 1,5 %, rozsah pracovných teplôt 20 - 60° C, merací rozsah 20 - 120 MPa, maximálne dovolené preťaženie 160 MPa bez zmeny charakteristiky. Po preťažení do 210 MPa sme museli snímač preciaťovať.

4. Záver

Na záver možno konštatovať, že aj keď sa spoľahlivosť snímača v agresívnom prostredí dosiaľ nemerala, v prípade kladných výsledkov má uvedené meranie tlaku široké možnosti uplatnenia v technickej praxi. Snímače pracujúce súčasne so zásadne iným geometrickym usporiadaním magnetického poľa a nosného telesa, ale založené na rovnakom fyzikálnom jave, sa už vo svete veľmi dobre osvedčili a nahradili klešické snímače s lepenými tenzometrami. Najmä špičkový výrobca švédskej firmy ASEA dosiahol v tomto smere veľmi dobré výsledky. Jej výrobky slúžia na meranie valcovaciej h sily, na váženie v podobe váh, na meranie hmotnosti bremena žeriavu a na meranie tlaku vo valcoch výbušných lodných motorov. Jej zariadenia sú však vzhľadom na ich cenu, v prípade obmedzenosti devízových prostriedkov, veľmi ľahko dostupné.

5. Označenia

Veličiny

B	- magnetická indukcia - [T]	n	- počet lamiel / obr.1/
f	- frekvencia napájacieho prúdu - [Hz]	p	- tlak [Pa]
h	- hrúbka lamiel	r	- polárna súradnica / obr.3/ [m]
I	- elektrický prúd - [A]	$r_1 \ r_2$	- geometrické rozmery podla obr. 3 [m]
k_c	- koeficient citlivosti	U	- elektrické napätie
m	- počet elementárnych úvarov vedla seba / obr.1/	λ	- koeficient dĺžkovej magnetostriktcie [1]
N	- počet závitov vinutia [l]	μ	- permeabilita [H/m]

6. Literatúra

- [1] AKULOV N.: Feromagnetizm. Leningrad GITTL 1939
- [2] BJELOV K.: Erscheinungen in ferromagnetischen Metallen. Berlin, VEB Verlag 1953 - [3] KNELLER E.: Ferromagnetismus. Berlin, Springer Verlag 1962 - [4] SAVIN G.: Rasspredenie naprjažení okolo otvrtstvíj Kijev, Naukova Dumka 1968 -
- [5] KULDA J.: Magnetické pole v silnoproudé elektrotechnice. Praha, Academia 1974 - [6] STRATON J.: Teorie elektromagnetického pole. Praha, TKI 1961